

土石流の流動過程について（その3）

京都大学防災研究所 ○諏訪 浩・奥田節夫、京都府立大学農学部 小川恒一

焼岳上々坂沢における土石流の観測成果から、既に土石流の平均流速、材料組成、偏流、これに伴う渓岸の振動などについて報告を行ってきた。今回は1980年の観測で得られた流動に関する二つの新たな知見と、土石流の流走距離と流動の諸量との関係について整理した結果を略述する。

1. 土石流の密度 採泥缶によつて採取した試料から土石流先端部の密度はあらかじめ実測しているが、今回の次のようないくつかの方法で、土石流の後続部まで含めて、その密度の推移の連続測定を試みた。図1に示すような床固流路底面で土石流の圧力 P (g/cm^2) と、映像記録から水位 h (cm) を測定し、密度 ρ (g/cm^3) を算出した。流れは段落ち流れであるため、 P と h より単位体積重量 γ (g/cm^3) の間の関係は静水圧分布から少しずれる。図2の上二段には中規模な土石流に関して実測された P と h が示されている。段落ち水流に関する岩崎¹⁾の研究を参考にして、 P と静水圧との比 $k_p = P/(gh)$ を水位 h と静水圧分布を呈する少し上流の水位 h_0 との比 $k_h = h/h_0$ と対応させて γ を求めた。単位は異なるが、密度 ρ を表現して図3に示した。さて、先頭の約30秒間の値は既に採泥缶のサンプルから明瞭かとなり、ていう値 (1.4~1.85 g/cm^3) に比べて明瞭かに小さくなる。これは、土石流の先頭部がとくに多量の石礫を含む構造になつていて、静水圧が形成され難いためだと推定され、密度がうまく求まらない。後続部は予期に反し、密度があまり変化せず、ほぼ一定 ($1.5 \text{ g}/\text{cm}^3$) となることが注目される。

2. 土石流の通過に伴う渓床侵食 図3は渓床の侵食と再堆積の状態の調査結果を示す。例えは測点Rでは、最初ブロックが11個左端に積み重ねて埋設されていたが、7月19日の小規模な土石流の通過にて、いったん深さ 70 cm まで侵食を受け、ブロックが7個流失したのち、23 cm の埋め戻しの生じたことを示す。流失するブロックが映像記録された時刻は、先端の通過後 20 数秒うちろの先頭部においてであつたが、これは土石流先頭部による直接的な侵食あるいは土石流に伴う地盤振動による渓床の流動化現象の存在を示唆するものと言える。

3. 土石流の流走距離 土石流が流動を続けてどこまで到達するかの検討は防災の見地から重要である。そこで土石流/1例について流走距離を含む諸量を比較検討したが、そのうち到達距離の大とく異なる二例について主要な要素を比較して表1に示した。Vf についてのみ大小の逆転が見られるほかは、どの要素も土石流(A)のはうが大きく、scale factor の支配が期待されるが、先の1例で整理したところ、それは高い相関は見られず、一例として図4に示す程度にとどまっている。図5は扇状地の縦断勾配の場所的な変化に伴う土石流の停止位置と停止当時の前面の縦断勾配を示す。同じデータを用いても、20 m 区間毎の平均計測法では 1° 程度のところまで到達したことになるが、200 m 区間平均の計測法では、その下限が 3° になつていることが注目される。

謝辞 この研究は建設省松本砂防工事事務所と文部省科研費補助金の援助を受けて実施された。
引用文献 1) 岩崎敏夫; 段落ち水流の水理現象に関する実験的研究, 土木学会誌, 38, 6, 33, 1953, 241~246, 2) 奥田節夫ほか; 土石流の総合的観測 その6, 京大防災研年報23B, 1980, 357~394

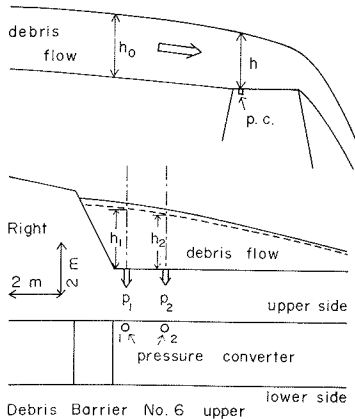


図1 土石流の段落ち流れと
底面圧力の測定

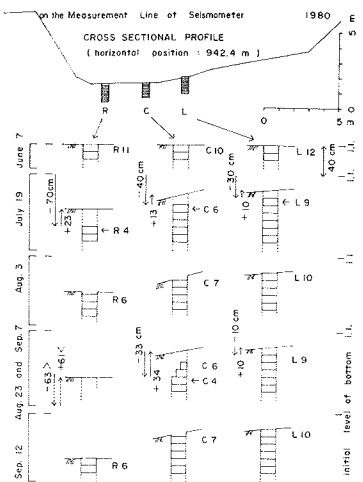


図3 土石流による河床の侵食と堆積

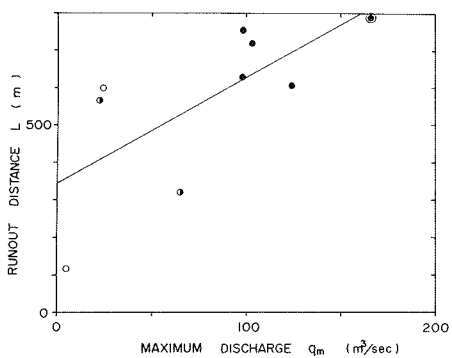


図4 土石流の最大流量と流走距離

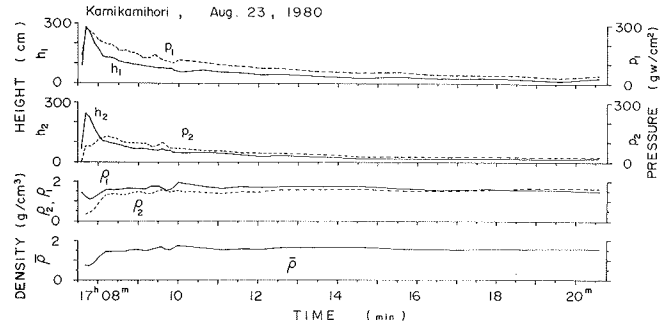


図2 土石流の底面圧力と密度の変動

表1 二つの土石流の流走距離の差異の検討

Comparison between the two debris flows

	debris flow (P), Aug. 23, 1980	debris flow (A), Sep. 21, 1979
L : runout distance (m)	321	< 755
R ₁₀ : 10 minutes rainfall (mm)	5	< 11
R _{1b} : rainfall index (mm)	9.3	< 13
Q _t : total discharge (m ³) (discharge q > 20m ³ /sec)	3700	< 12600
q _m : maximum discharge (m ³ /sec)	65	< 98
v _f : front velocity (m/sec)	4.3	< 3.3
d _{max} : diameter of largest stone (m)	3.3	< 5.6
T : tangent of fan head slope (5.3°)	0.093 (5.3°)	0.105 (6.0°)

$$R_{1b} = R_{10} + \frac{1}{5}(R_{60} - R_{10}) + \frac{1}{30}(R_{6h} - R_{60})$$

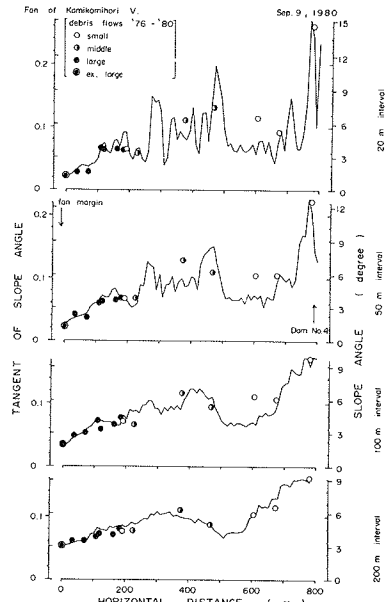


図5 土石流の停止位置 (lobe の下流端) と
停止地点上流側の前面の縦断勾配